

INFORME GEOTÉCNICO

PROYECTO:

CONSTRUCCIÓN DE UNA TIENDA KIOSKO.

UBICACIÓN:

CALLE CARBONERAS, MUNICIPIO DE PUERTO
VALLARTA, JALISCO, MÉXICO.

SOLICITADO POR:

PROYECTOS KIOSKO

ARCHIVO:

kiocarb_260324

Zapopan, Jalisco, a martes 26 de marzo de 2024.

kiocarb_260324

PROYECTOS KIOSKO PRESENTE.

A continuación, le presentamos los resultados del informe geotécnico realizado para el proyecto de Construcción de una Tienda KIOSKO, ubicado en la Calle Carboneras, Municipio de Puerto Vallarta, Jalisco, México.

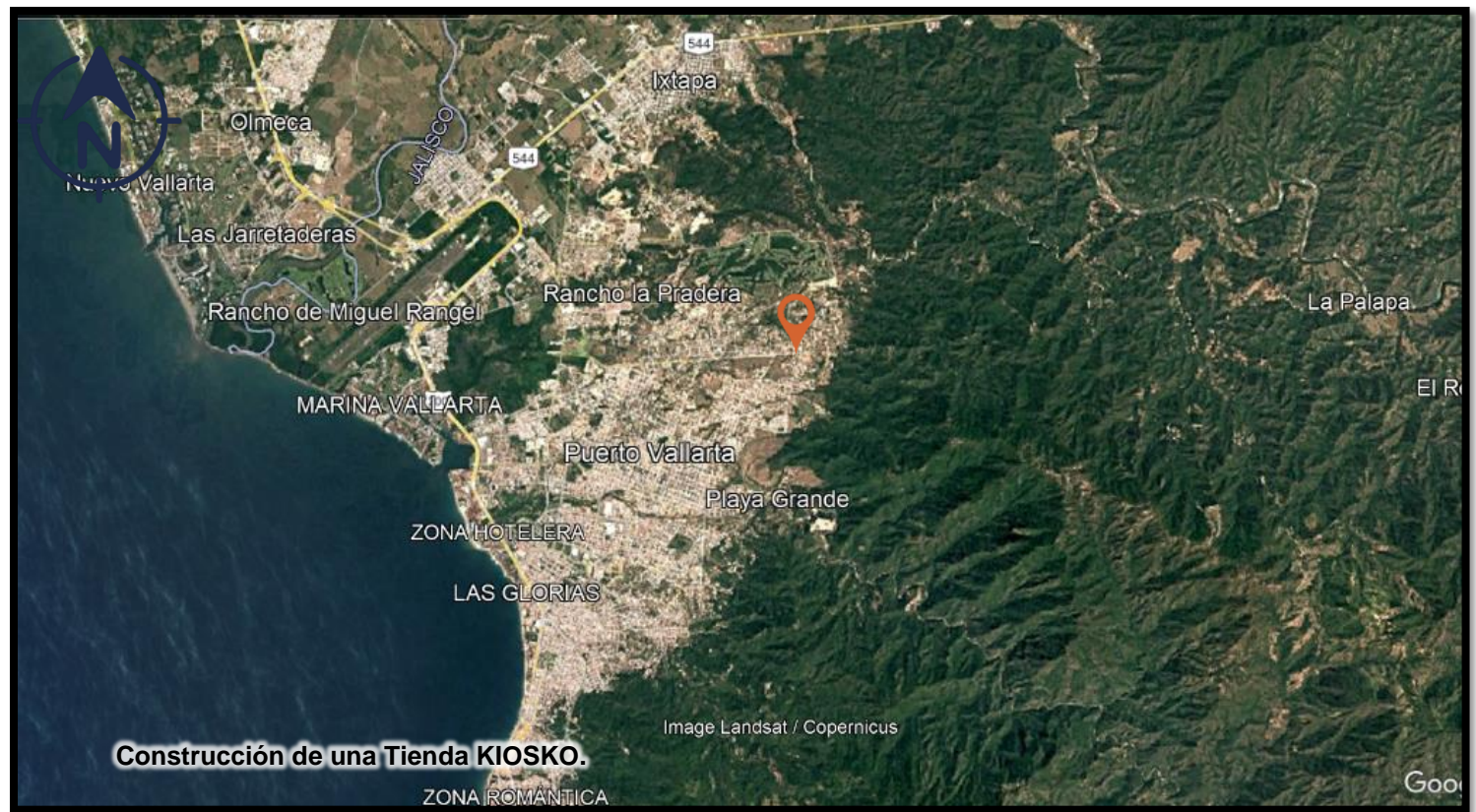


Imagen 1.-Ubicación general

El estudio comprenderá el siguiente índice para el informe geotécnico:

I.	Introducción.....	- 4 -
II.	Antecedentes generales del ensayo de penetración estándar.....	- 6 -
III.	Metodología general del ensayo de penetración estándar.....	- 6 -
IV.	Antecedentes del predio.....	- 10 -
V.	Trabajos de campo y laboratorio	- 10 -
VI.	Croquis de ubicación de los sondeos	- 15 -
VII.	Cálculo de la capacidad de carga del terreno	- 16 -
VIII.	Conclusiones y recomendaciones	- 18 -
IX.	Anexo fotográfico.....	- 21 -

I. Introducción

a) Localización

El municipio de Puerto Vallarta está situado al poniente del estado, en las coordenadas 20°27'00" a los 20°59'00" de latitud norte y los 104°55'0" a los 105°33'00" de longitud oeste, a una altura de 2 metros sobre el nivel del mar.

Limita al norte con el estado de Nayarit, al sur con el municipio de Cabo Corriente y Talpa de Allende; al oriente con San Sebastián y Mascota y al poniente con el Océano Pacífico.

Tiene una superficie de 680.41 km², cifra que representa el 0.87% de la superficie del estado. Cuenta con 98 localidades y una población total de 220 368 habitantes.

b) Orografía

El municipio cuenta con muy pocas zonas planas, éstas se localizan principalmente en la margen derecha del río Ameca y por la costa desde su desembocadura hasta la del río Cuale hacia el sur. La mayor parte de la superficie está ocupada por zonas accidentadas, al oriente las sierras de San Sebastián y de Cuale, que forman parte de la Sierra Madre Occidental, lo protegen de los vientos y sirven como moderadores del clima. La Sierra de Cuale llega hasta la costa formando imponentes acantilados empezando al sur de la cabecera municipal y continúa al sur hasta formar el Cabo Corrientes. Las principales alturas son: el Picacho de Palo María de 1,600 metros, el Cerro de la Aguacatera, de 1500, y la Torrecilla de 1250 metros sobre el nivel del mar.

c) Fisiografía

Provincia: Sierra Madre del Sur (100%), Subprovincia: Sierras de la Costa de Jalisco y Colima (100%), Sistema de topoformas: Sierra alta compleja (59.23%), Llanura costera con deltas (22.27%), Lomerío típico (16.41%), Valle ramificado (1.35%) y Valle intermontano con lomerío (0.72%).

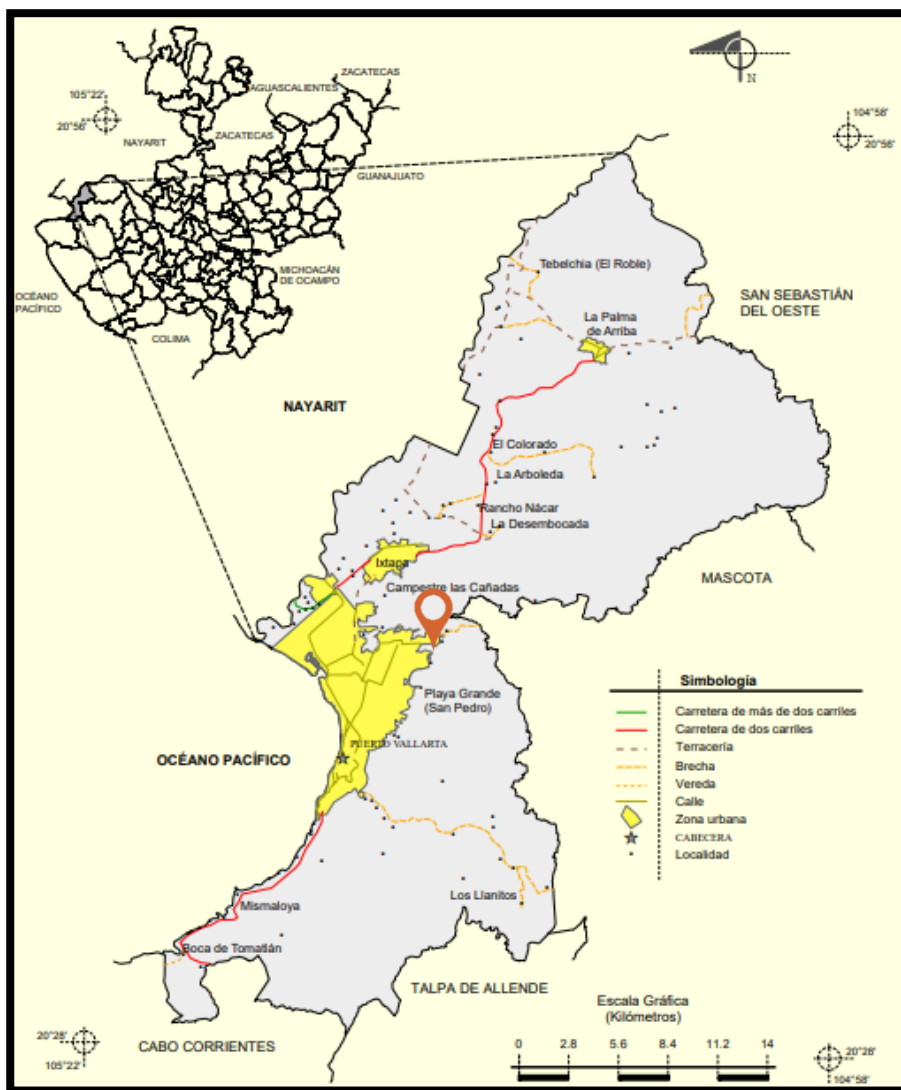


Imagen 2.- Localidades e infraestructura para el transporte

d) Clima

El clima es semitropical y húmedo, la temperatura máxima es de 31° C. en el verano y la mínima de 19° C. en el invierno; la media anual es de 25° C. La temporada de lluvias abarca de mediados del mes de junio a finales del mes de agosto, continuando con lluvias aisladas hasta mediados de octubre; tiene una precipitación media anual de 1,417 milímetros. Los vientos dominantes son en dirección suroeste y no presentan heladas.

e) Geología

El territorio está conformado por terrenos pertenecientes a los períodos: Cretácico (42.30%), Terciario (26.02%), Cuaternario (23.10%), Plioceno-Cuaternario (0.55%) y Neógeno (0.22%), Roca: Ígnea

intrusiva: granito (42.30%); Ígnea extrusiva: toba ácida (26.02%) y basalto (0.55%) Sedimentaria: conglomerado (10.78%) y arenisca-conglomerado (0.21%), Suelo: aluvial (12.33%)

f) Hidrografía

Región hidrológica: Ameca (57.30%) y Huicicila (42.70%), Cuenca: R. Ameca-Ixtapa (57.30%) y R. Cuale-Pitillal (42.70%), Subcuenca: R. Ameca-Ixtapa (34.51%), R. Mascota (22.79%), R. Cuale (18.19%), R. Pitillal (15.69%) y R. Tecomala (8.82%), Corrientes de agua Perennes: Ameca, Agua Zarca, El Cuale, El Naranjal, El Nogal, El Nogalito, La Torrecilla, Los Cuartones, Los Menores, Los Horcones, Mascota, Mismaloya, Palo María, Piedra Gorda, Pitillal, Quelitán, San Sebastián y Vallejo Intermitentes: El Diablo, El Indio, La Tigrera, Los Cangrejos, Los Llanitos, Quelitán, San Luis, Santo Domingo, Seco, Texas y Vena de Santa Marta.

II. Antecedentes generales del ensayo de penetración estándar

El ensayo de penetración estándar o SPT (del inglés Standard Penetration Test), es un tipo de prueba de penetración dinámica, empleada para ensayar terrenos en los que se quiere realizar un reconocimiento geotécnico.

En la práctica resulta difícil conocer geotécnicamente el terreno al 100%, toda caracterización se apoya en un número limitado de observaciones, exploraciones y ensayos, lo cual permite conceptualizar geotécnicamente el terreno, además cabe mencionar que siempre permanecerá un nivel de incertidumbre relativa a las características geotécnicas del sitio, debido a que la prueba de penetración estándar es de exploración puntual la cual tratará de representar las características del suelo de un área a estimar. Para ello, el número de sondeos a realizarse en el estudio geotécnico estará en función del área de desplante de la construcción, en caso que el área de construcción sea mayor a 1,000 m² el número de sondeos estará en función de la variabilidad del terreno y la profundidad mínima de exploración estará en función del número de niveles a construir. En caso de que la construcción vaya a tener uno o varios niveles de sótano, esta profundidad mínima de exploración será a partir del nivel inferior del sótano.

III. Metodología general del ensayo de penetración estándar

Dado el extensivo uso de la prueba de penetración estándar como herramienta para la determinación de las propiedades mecánicas de los suelos locales (arenas y gravas pumíticas con contenidos variables de finos limo-arcillosos), es importante hacer énfasis que para que los resultados sean lo más consistentes posibles, la penetración estándar deberá realizarse siguiendo cuidadosamente la norma ASTM D 1586.

La metodología consiste en el hincado de un saca muestras en el subsuelo, entregándole una cierta energía, esta prueba es sin duda la más extendida en la disciplina geotécnica, para la determinación "in situ" de algunas propiedades ingenieriles de los suelos.

La metodología propuesta por Fletcher exhibía las siguientes tareas: Ejecutar una perforación en la zona donde se analizaba el subsuelo, la cual se limpiaba por medio de inyección de agua hasta la profundidad a la que se deseaba extraer la muestra, luego se bajaba la cuchara partida enroscada al extremo de las barras del sondeo. Una vez que la cuchara llegaba al fondo de la perforación, comenzaba el ensayo de penetración propiamente dicho, materializado por medio de un dispositivo que dejaba caer libremente una maza de 140 libras (63,5 kg) desde una altura de 30" (762 mm) sobre la cabeza de golpeo de las barras de sondeo para que el saca muestras penetrará primero 6" (15 cm). El No. de golpes necesario para la hincada del saca muestras se le llamó resistencia normal a penetración (N).

Una vez finalizada la hincada, se extraía la muestra, abriendo longitudinalmente la cuchara, se la colocaba en un recipiente hermético y se le etiquetaba indicando: obra, no. de sondeo, no. de muestra, profundidad y el valor de N. En todo momento las muestras debían de estar al resguardo de heladas o del sol hasta su llegada al laboratorio para la determinación de los parámetros correspondientes.

Los elementos y las características relevantes del método propuesto por la ASTM son las siguientes:

1. Maza de 63,5 kg.
2. Altura de caída: 76 cm
3. Saca muestras: de diámetro externo = (50 mm ó 2 pulgadas)
4. Saca muestras: de diámetro interno = (35 mm ó 1 3/8 pulgadas)
5. Variante con diámetro interno 38 mm y tubo porta muestras (diámetro interno final 35 mm)
6. Mecanismo de liberación del martinetito mediante soga y malacate
7. Barras de sondeo
8. Cabeza de golpeo.

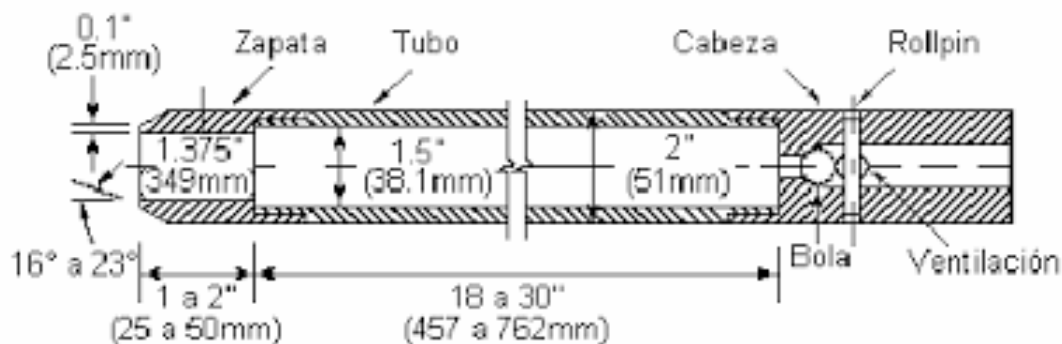


Imagen 3.-Sacamuestra partido ASTM D1586-84 (Ref. 2)

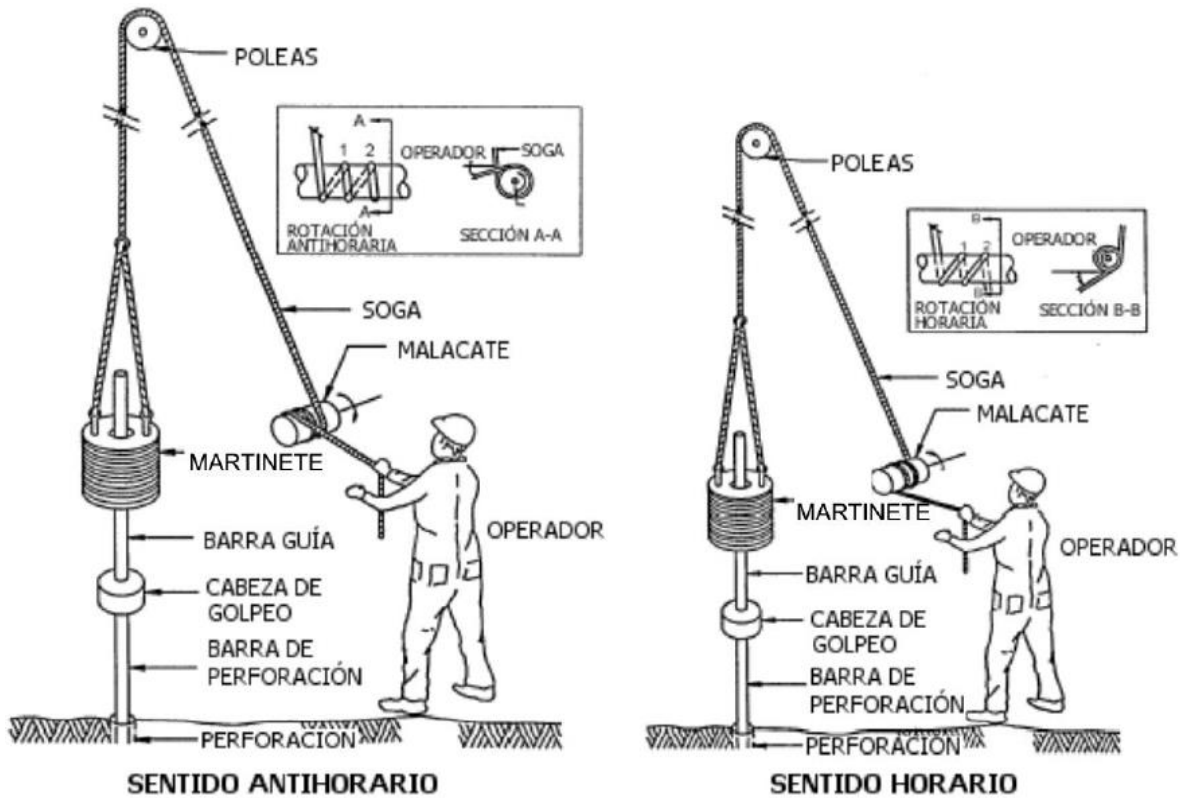


Imagen 4.- Sistema de soga y malacate.

Se detendrá el hincado del muestreador una vez que se cumpla con una de las siguientes condiciones:

- Un total de 50 golpes han sido aplicados durante uno de los tres incrementos de 0.15 m.
- Cuando no se observa ningún avance del saca muestras durante la aplicación de 10 golpes sucesivos del martineté.
- Cuando se han acumulado un total de 100 golpes.

IV. Antecedentes del predio

El día 13 de marzo del presente año, personal técnico de Ikaro Laboratorio, realizó la visita al sitio, predio que se encuentra sin edificar (*ver anexo fotográfico*), en esta visita se realizaron 2 sondeos de penetración estándar, alcanzando una profundidad máxima de exploración 3.60 m, encontrando el estrato altamente consolidado (N>50) a 3.00 m de profundidad.

No se localizó el nivel de aguas freáticas (N.A.F.) a la profundidad estudiada en la fecha en la que se efectuó la exploración del subsuelo.

V. Trabajos de campo y laboratorio

Los trabajos de exploración se efectuaron con la prueba de penetración estándar a cada 0.60 m de profundidad, determinando el diagrama de compacidad relativa de los estratos del subsuelo, rescatando una muestra alterada del terreno a cada 0.60 m de profundidad hasta alcanzar la profundidad antes mencionada; para su análisis en el laboratorio, se determinaron las características físicas y mecánicas, así como las propiedades índice que nos proporcionen las condiciones y limitaciones para el diseño de la cimentación de las edificaciones que se proyectan.

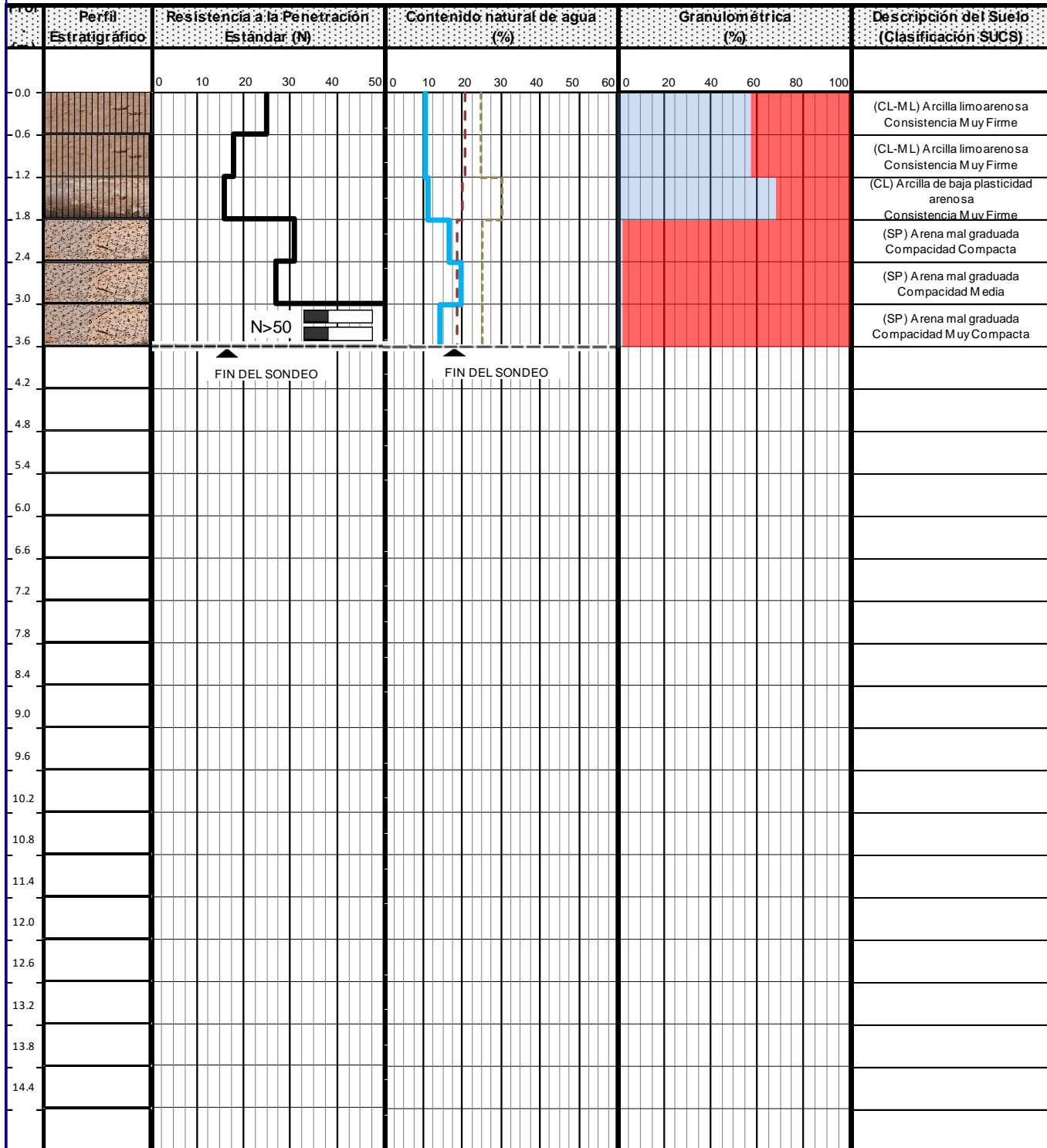
CARACTERISTICAS FISICAS Y MECANICAS DEL SUELO
SONDEO No. 1

Sondeo # 1

Profundidad (m)	de	0.00	0.60	1.20	1.80	2.40	3.00	3.60	4.20	4.80
	a	0.60	1.20	1.80	2.40	3.00	3.60	4.20	4.80	5.40
Clasificación SUCS	(CL-ML)	(CL-ML)	(CL)	(SP)	(SP)	(SP)				
Masa volumétrica natural (kg/m ³)	1,325	1,323	1,245	1,366	1,402	1,339				
Numero de golpe (N)	25	18	16	31	27	>50				
Contenido de agua, w (%)	10.57%	10.41%	11.16%	16.78%	19.89%	14.45%				
Densidad de solidos	2.4	2.4	2.3	2.4	2.4	2.4				
Limite liquido, LL (%)	24.82%	24.82%	30.28%	25.21%	25.21%	25.21%				
Limite plastico, LP (%)	20.76%	20.76%	20.20%	18.86%	18.86%	18.86%				
Indice de plasticidad, IP (%)	4.05%	4.05%	10.08%	6.36%	6.36%	6.36%				
Granulometria	material que pasa (%)	Malla No. 4	100.00%	100.00%	100.00%	100.00%	100.00%	100.00%		
		Malla No. 40	74.82%	74.82%	80.35%	28.88%	28.88%	28.88%		
		Malla No. 200	57.54%	57.54%	68.34%	2.25%	2.25%	2.25%		
Grado de saturación, Gw (%)	21.20%	20.88%	21.49%	32.73%	38.79%	28.19%				
Angulo de friccion interna, f (°)	12	12	12	36	35	41				
Cohesion (kg/cm ²)	1.67	1.20	1.07	--	--	--				
Consistencia	MUY FIRME	MUY FIRME	MUY FIRME	--	--	--				
Compacidad	--	--	--	COMPACTA	MEDIA	MUY COMPACTA				

Observaciones: Se encontro el estrato altamente consolidado (N>50) a la profundidad de 3.00 m.
No se detectó nivel de aguas freáticas (N.A.F.).

PERFIL ESTRATIGRAFICO DEL SONDEO 1



OBSERVACIONES:

— Número de golpes "N" — Contenido natural de agua, w (%)
 — Limite Líquido, LL (%) ■ Limos o Arcillas ■ Arenas ■ Gravas
 — Limite Plástico, LP (%)

SUCS: Sistema Unificado de Clasificación de Suelos (ASTM D 2)

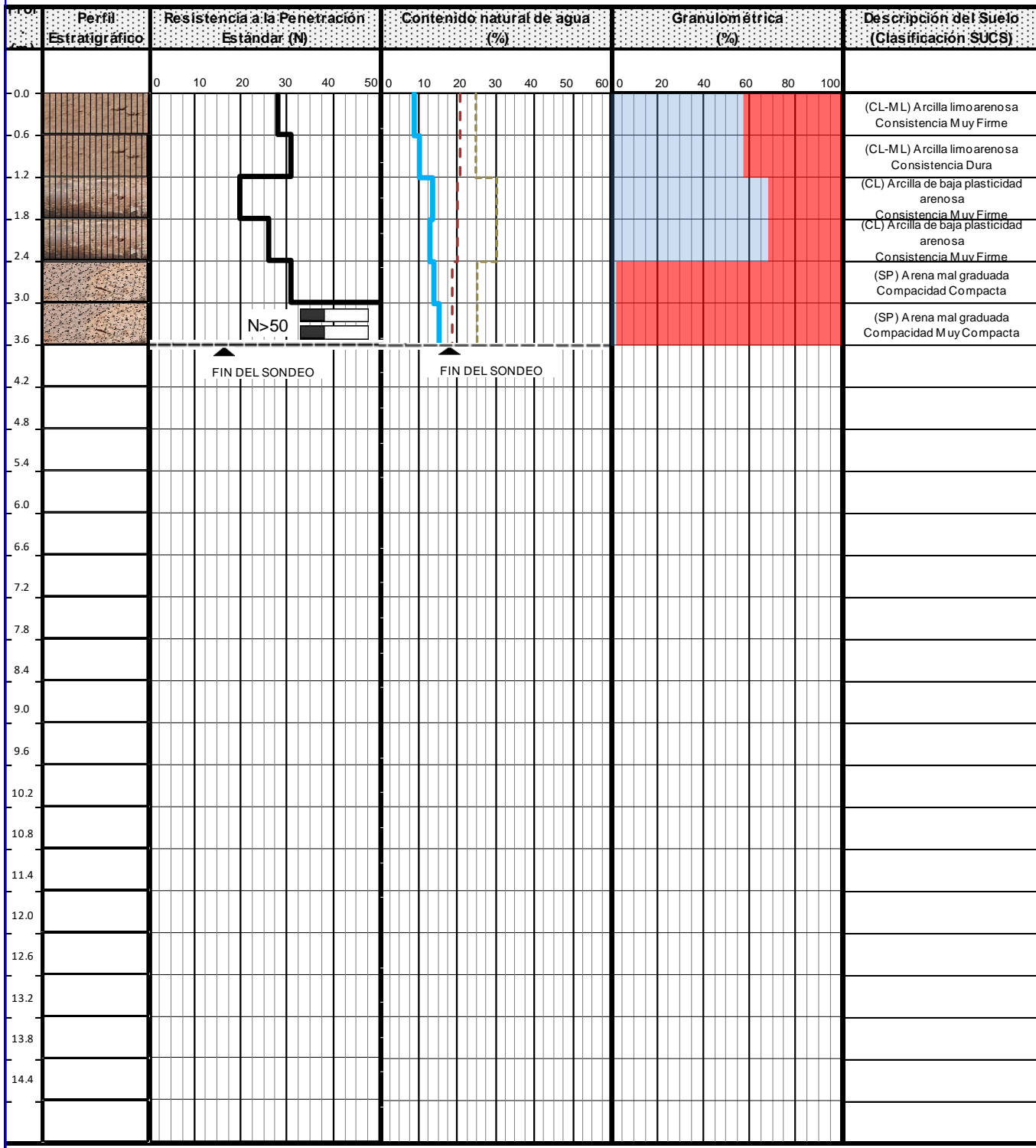
CARACTERISTICAS FISICAS Y MECANICAS DEL SUELO
SONDEO No. 2

Sondeo # 2

Profundidad (m)	de	0.00	0.60	1.20	1.80	2.40	3.00	3.60	4.20	4.80
	a	0.60	1.20	1.80	2.40	3.00	3.60	4.20	4.80	5.40
Clasificación SUCS	(CL-ML)	(CL-ML)	(CL)	(CL)	(SP)	(SP)				
Masa volumétrica natural (kg/m ³)	1,303	1,319	1,273	1,267	1,331	1,347				
Numero de golpe (N)	28	31	20	26	31	>50				
Contenido de agua, w (%)	8.72%	10.06%	13.66%	13.08%	13.79%	15.16%				
Densidad de solidos	2.4	2.4	2.3	2.3	2.4	2.4				
Limite liquido, LL (%)	24.82%	24.82%	30.28%	30.28%	25.21%	25.21%				
Limite plastico, LP (%)	20.76%	20.76%	20.20%	20.20%	18.86%	18.86%				
Indice de plasticidad, IP (%)	4.05%	4.05%	10.08%	10.08%	6.36%	6.36%				
Granulometria	material que pasa (%)	Malla No. 4	100.00%	100.00%	100.00%	100.00%	100.00%	100.00%		
		Malla No. 40	74.82%	74.82%	80.35%	80.35%	28.88%	28.88%		
		Malla No. 200	57.54%	57.54%	68.34%	68.34%	2.25%	2.25%		
Grado de saturación, Gw (%)	17.49%	20.18%	26.31%	25.19%	26.90%	29.57%				
Angulo de friccion interna, f (°)	12	14	12	12	36	41				
Cohesion (kg/cm ²)	1.87	2.07	1.33	1.73	--	--				
Consistencia	MUY FIRME	DURA	MUY FIRME	MUY FIRME	--	--				
Compacidad	--	--	--	--	COMPACTA	MUY COMPACTA				

Observaciones: Se encontro el estrato altamente consolidado (N>50) a la profundidad de 3.00 m.
No se detectó nivel de aguas freáticas (N.A.F.).

PERFIL ESTRATIGRÁFICO DEL SONDEO 2



SUCS: Sistema Unificado de Clasificación de Suelos (ASTM D 2)

VI. Croquis de ubicación de los sondeos



Imagen 5.- Ubicación de los sondeos en el predio.

VII. Cálculo de la capacidad de carga del terreno

“La intensidad del movimiento sísmico es uno de los peligros al que están expuestas las construcciones. Para tomar en cuenta el peligro sísmico, frecuentemente se recurre al uso de espectros de diseño que dependen, entre otros aspectos, de la cercanía del sitio a las fuentes generadoras de temblores y de las condiciones locales del terreno. En el pasado, esto se resolvió mediante una regionalización sísmica del territorio mexicano que consistía en cuatro zonas, y una clasificación en tres tipos de terreno. Se proporcionó una forma funcional del espectro de cinco parámetros consignados en una tabla en que se atendía la zona sísmica y el tipo de terreno.”



Imagen 6.- Regionalización Sísmica de la República Mexicana (CFE)

“Los avances en materia de ingeniería sísmica e ingeniería estructural, han permitido refinar los criterios de diseño sísmico de estructuras, basándose en modelos matemáticos más complejos”(Manual de Diseño de Obras Civiles, Diseño por sismo, C.F.E., 2008), dichos cálculos se pueden realizar con el programa PRODISIS (Programa para Diseño Sísmico), para la obtención del valor de la aceleración máxima del terreno rocoso en cualquier parte del país, generación de acelerogramas sintéticos y espectros de diseño. Para conocer más detalles, será necesario consultar el Manual de Diseño de Obras Civiles, Diseño por sismo de la C.F.E., 2008.

Las Capacidades de Carga de acuerdo con la Teoría de Terzaghi-Meyerhof, para suelos cohesivo-friccionantes, para cada nivel, con un coeficiente de seguridad del orden de 3.50 serán de:

CAPACIDAD DE CARGA PARA UNA CIMENTACIÓN CORRIDA

Profundidad D _f (m)	1.20	1.40	1.60	1.80	2.00
Ancho B (m)	q _{adm} (t/m ²)				
0.60	29.25	29.50	29.74	32.94	33.18
0.80	29.28	29.53	29.77	32.97	33.21
1.00	29.31	29.56	29.80	33.00	33.24
1.20	29.34	29.59	29.83	33.03	33.27
1.40	29.37	29.62	29.86	33.07	33.30
1.60	29.40	29.65	29.89	33.10	33.33

CAPACIDAD DE CARGA PARA UNA CIMENTACIÓN CUADRADA

Profundidad D _f (m)	1.20	1.40	1.60	1.80	2.00
Ancho B (m)	q _{adm} (t/m ²)				
0.50	37.52	37.77	38.01	42.13	42.37
1.00	37.58	37.83	38.07	42.20	42.43
1.50	37.64	37.89	38.13	42.26	42.49
2.00	37.70	37.95	38.20	42.32	42.55
2.50	37.76	38.01	38.26	42.38	42.61
3.00	37.82	38.07	38.32	42.44	42.68

Nota: Las capacidades de carga están dadas a partir del nivel de terreno actual.

VIII. Conclusiones y recomendaciones

El suelo estudiado hasta las profundidades mencionadas está constituido depósitos de materiales que consisten en una Arcilla limoarenosa (CL-ML), una Arcilla de baja plasticidad arenosa (CL) y una Arena mal graduada (SP).

Las consistencias van de MUY FIRME a DURA, y las compacidades van de MEDIA a MUY COMPACTA conforme se incrementa la profundidad, encontrando el estrato altamente consolidado ($N>50$) a 3.00 m de profundidad.

No se localizó el nivel de aguas freáticas (N.A.F.) a la profundidad estudiada en la fecha en la que se efectuó la exploración del subsuelo.

El tipo de cimentación que se adecúa para las condiciones del subsuelo es del tipo superficial, zapatas aisladas y corridas.

Se hace especial recomendación que las excavaciones no se dejen abiertas por mucho tiempo y de preferencia que no se realicen en temporadas de lluvias para que no se altere la estructura natural del suelo y esto provoque la disminución de la capacidad de carga y el incremento de los hundimientos.

Desde el punto de vista del comportamiento del subsuelo, es posible que, durante un sismo intenso, ocurra un reacomodo en las partículas de los depósitos superficiales existentes, por lo cual es conveniente que las estructuras estén capacitadas para admitir movimientos diferenciales sin dañarse.

Mejoramiento del suelo para cimentación de zapatas

Debido al Índice Plástico (%IP) que presenta el suelo, se recomienda realizar lo siguiente por debajo de las zapatas de cimentación (Imagen 7).

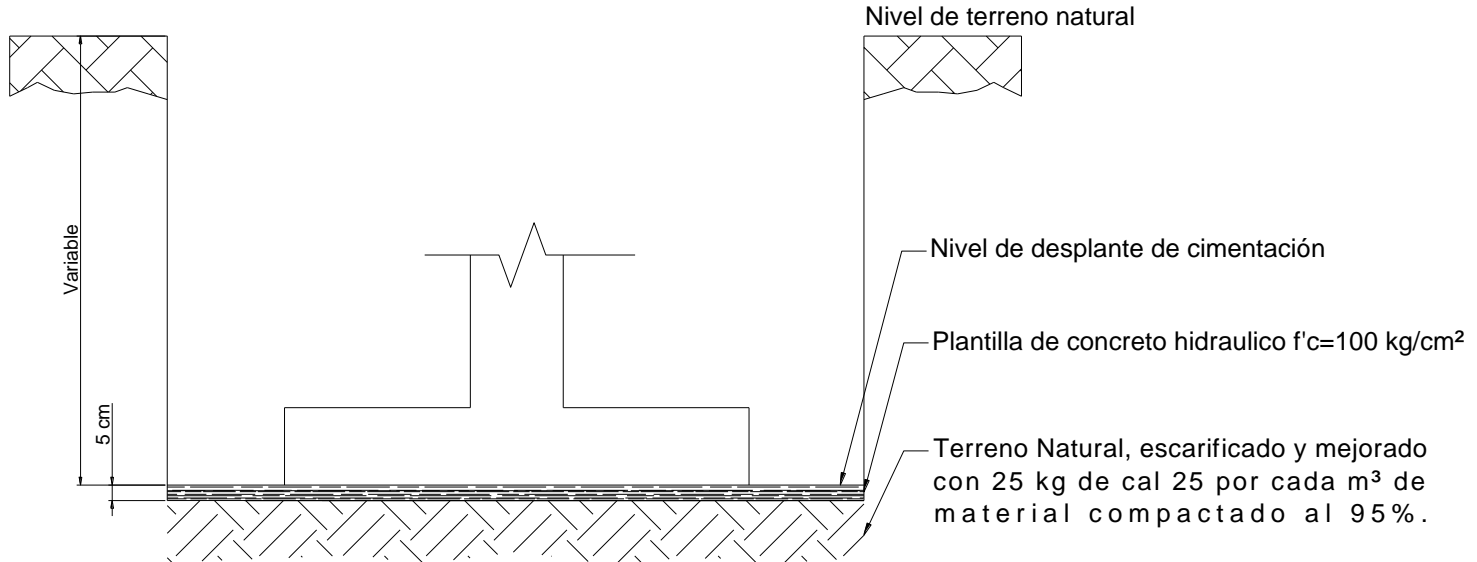


Imagen 7.- Esquema representativo del mejoramiento (sin escala).

Corte: Abrir caja a 5 cm por debajo del nivel de desplante de la cimentación, cuya capacidad de carga sea la adecuada a sus necesidades.

Escarificar: Se deberá mejorar el fondo de la excavación mediante un suelo estabilizado, escarificando unos 20 cm y mezclarlo con 25 kg de cal-hidratada por cada m^3 de material, buscando un grado de compactación de por lo menos el 95% de su masa volumétrica seca máxima mediante la prueba AASHTO Estándar.

Plantilla: Posteriormente en el área de desplante de la zapata se colocará una plantilla de concreto hidráulico $f'c=100 \text{ kg/cm}^2$ con un espesor de 5 cm, con el fin de evitar que el concreto de los elementos estructurales se contaminen con partículas de suelo y que la carga se distribuya correctamente, cuando esto se haya cumplido, se puede continuar con la construcción de la cimentación.

A continuación, se muestra la ubicación de los sondeos mediante el sistema de Coordenadas Universal Transversal de Mercator (**UTM**).

No. Sondeo	UTM
S-1	13 Q 480639.16 m E 2285865.81 m N
S-2	13 Q 480620.53 m E 2285858.19 m N

Las coordenadas UTM se obtuvieron con el equipo GPS marca GARMIN modelo eTrex®10, por lo que pueden existir variaciones de un par de metros en la localización de los sondeos.

Tabla 1. Coordenadas Universal Transversal de Mercator (UTM).

Si al momento de iniciar los trabajos se encuentran condiciones diferentes a las mencionadas en este estudio, se recomienda notificar lo antes posible al laboratorio para tomar las medidas pertinentes.

ATENTAMENTE



Zayra Madrigal
Ing. Zayra Noemí Madrigal Alcantar
Jefe de laboratorio

IX. Anexo fotográfico



Fotografía 1: Vista general del predio.



Fotografía 2: Realización de los sondeos.



Fotografía 3: Realización de los sondeos.



Fotografía 4: Material recuperado para su análisis en laboratorio.



Fotografía 5: Material recuperado para su análisis en laboratorio.



Fotografía 6: Material recuperado para su análisis en laboratorio.



Fotografía 7: Material recuperado para su análisis en laboratorio.



Fotografía 8: Material recuperado para su análisis en laboratorio.